

補論：離散フーリエ変換

目的：集積の空間パターンの周期性の検出・特徴付け

単純化条件：立地空間：円環（1次元・端点なし） \mathbf{X}

立地主体：連続体

立地分布： $f(t)$, $t \in \mathbf{X}$

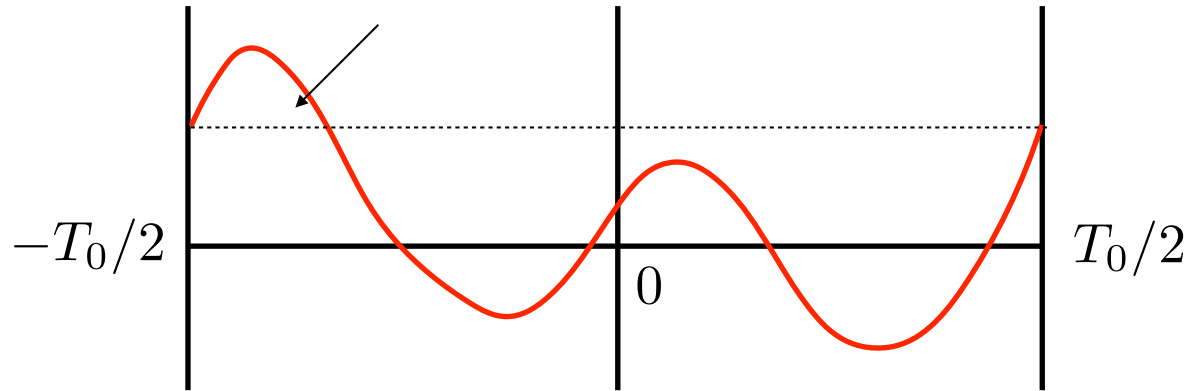
（以下、空間領域は慣例に従って“時間”領域として表す。）

ステップ1：フーリエ級数

“時間”領域の“信号”を様々な周波数の三角関数の和で表現

i.e., 様々な周波数の波動成分に分解

波動 $f(t)$: 周期的, 周期 T_0



フーリエ級数展開：

$$f(t) = \underbrace{a_0}_{\text{定数(周波数ゼロの成分)}} + \underbrace{\sum_{k=1}^{\infty} \left[a_k \cos\left(\frac{2\pi k}{T_0}t\right) + b_k \sin\left(\frac{2\pi k}{T_0}t\right) \right]}_{\text{周波数} = k \text{ の成分}} \quad (1)$$

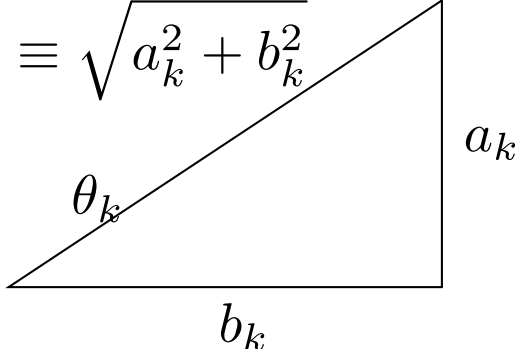
周波数 = k の成分

$t = T_0 \rightarrow 2\pi \times k$ (時間 T_0 内で k 周繰り返す)

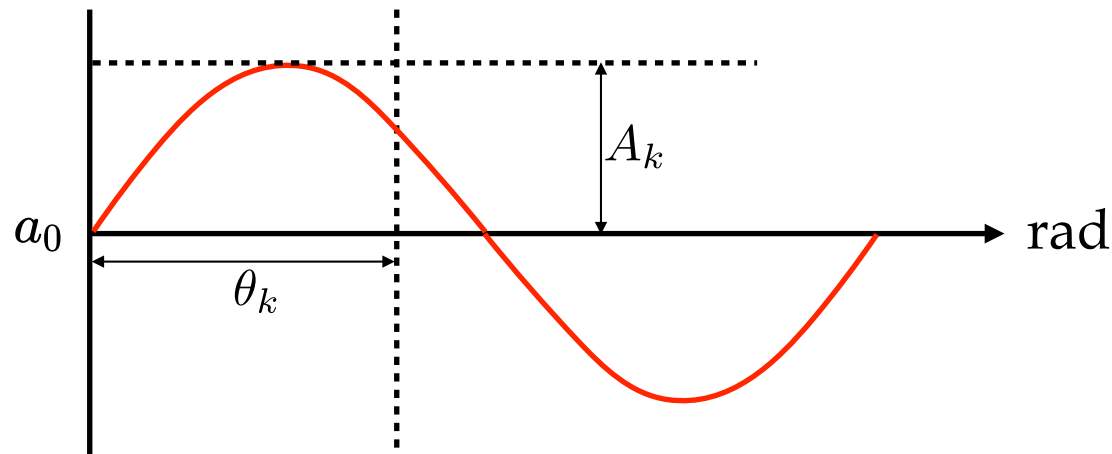
※ 周期 $T_0 \Rightarrow$ 周波数 k は整数

各波動成分の振幅と波動全体の振幅

$$\begin{aligned}
 f(t) &= a_0 + \sum_{k=1}^{\infty} \left[a_k \cos \frac{2\pi k}{T_0} t + b_k \sin \frac{2\pi k}{T_0} t \right] \\
 &= a_0 + \sum_{k=1}^{\infty} A_k \left[\frac{a_k}{A_k} \cos \frac{2\pi k}{T_0} t + \frac{b_k}{A_k} \sin \frac{2\pi k}{T_0} t \right] \\
 &= a_0 + \sum_{k=1}^{\infty} \left[\sin \theta_k \cos \frac{2\pi k}{T_0} t + \cos \theta_k \sin \frac{2\pi k}{T_0} t \right] \\
 &= a_0 + \sum_{k=1}^{\infty} A_k \sin \left(\frac{2\pi k}{T_0} t + \theta_k \right) \quad (2)
 \end{aligned}$$

$$A_k \equiv \sqrt{a_k^2 + b_k^2}$$


$$\tan \theta_k = \frac{a_k}{b_k}$$



フーリエ係数の導出

$$\begin{aligned}\int_{-T_0/2}^{T_0/2} f(t) dt &= \int_{-T_0/2}^{T_0/2} \left\{ a_0 + \sum_{k=1}^{\infty} \left[a_k \cos \frac{2\pi k}{T_0} t + b_k \sin \frac{2\pi k}{T_0} t \right] \right\} dt \\ &= \int_{-T_0/2}^{T_0/2} a_0 dt + \sum_{k=1}^{\infty} \left[\underbrace{\int_{-T_0/2}^{T_0/2} a_k \cos \left(\frac{2\pi k}{T_0} t \right) dt}_{=0} + \underbrace{\int_{-T_0/2}^{T_0/2} b_k \sin \left(\frac{2\pi k}{T_0} t \right) dt}_{=0} \right] \\ &= T_0 a_0\end{aligned}$$

$$\therefore a_0 = \frac{1}{T_0} \int_{-T_0/2}^{T_0/2} f(t) dt \quad (3)$$

$$\int_{-T_0/2}^{T_0/2} f(t) \cos\left(\frac{2\pi m}{T_0}t\right) dt = a_0 \int_{-T_0/2}^{T_0/2} \cos\left(\frac{2\pi m}{T_0}t\right) dt$$

$$+ \sum_{n=1}^{\infty} \left[a_n \underbrace{\int_{-T_0/2}^{T_0/2} \cos\left(\frac{2\pi n}{T_0}t\right) \cos\left(\frac{2\pi m}{T_0}t\right) dt}_{=\frac{T_0}{2} \delta_{m,n}} \right]$$

$$+ b_n \underbrace{\int_{-T_0/2}^{T_0/2} \sin\left(\frac{2\pi n}{T_0}t\right) \cos\left(\frac{2\pi m}{T_0}t\right) dt}_{=0} \quad \text{※ 三角関数の直交性}$$

※ 三角関数の直交性
+ 三角関数の1次化

$n=m$ の場合:

$$\cos^2 x = \frac{1 + \cos 2x}{2}$$

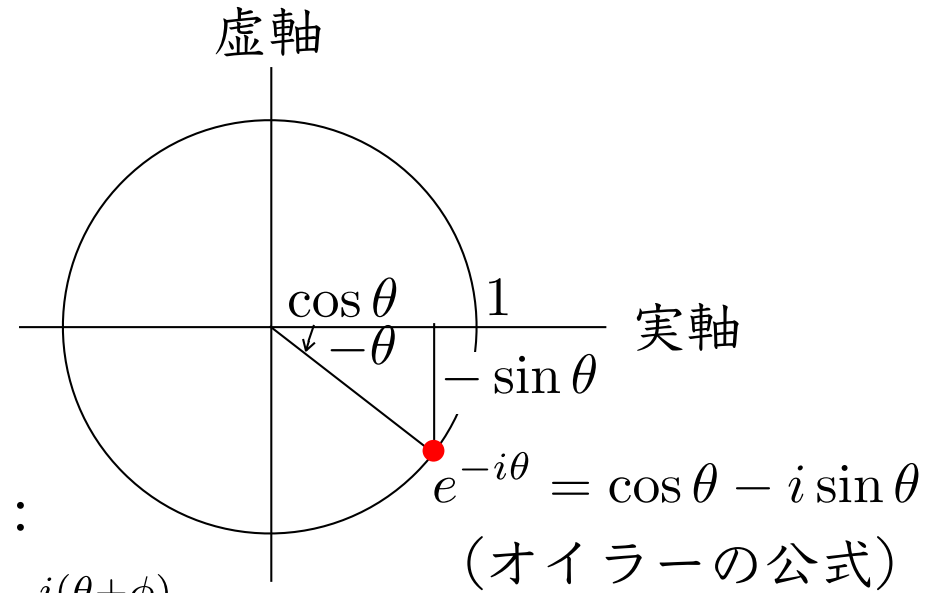
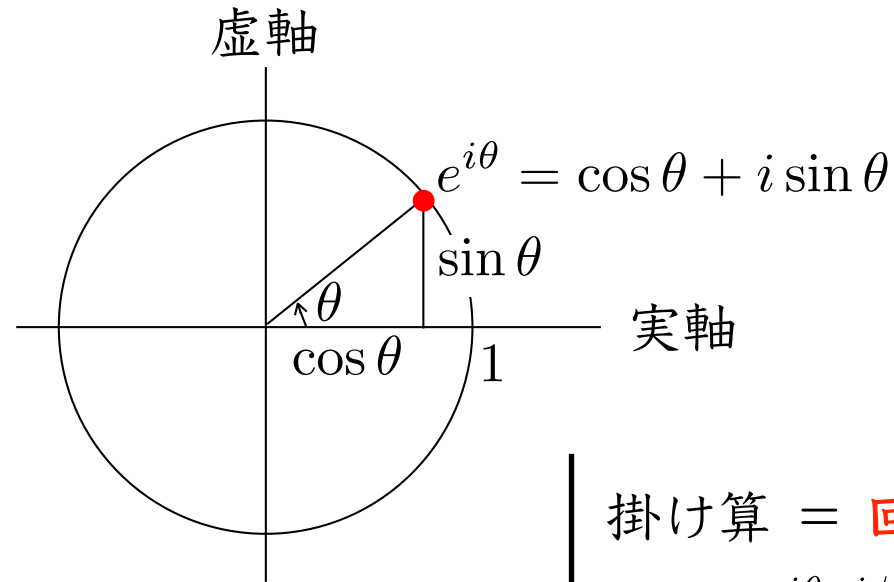
$$\sin^2 x = \frac{1 - \cos 2x}{2}$$

$$\left(\delta_{m,n} = \begin{cases} 1, & \text{if } m = n \\ 0, & \text{otherwise} \end{cases} \right)$$

$$\therefore a_k = \frac{2}{T_0} \int_{-T_0/2}^{T_0/2} f(t) \cos\left(\frac{2\pi k}{T_0}t\right) dt \quad (4)$$

同様に $b_k = \frac{2}{T_0} \int_{-T_0/2}^{T_0/2} f(t) \sin\left(\frac{2\pi k}{T_0}t\right) dt \quad (5)$

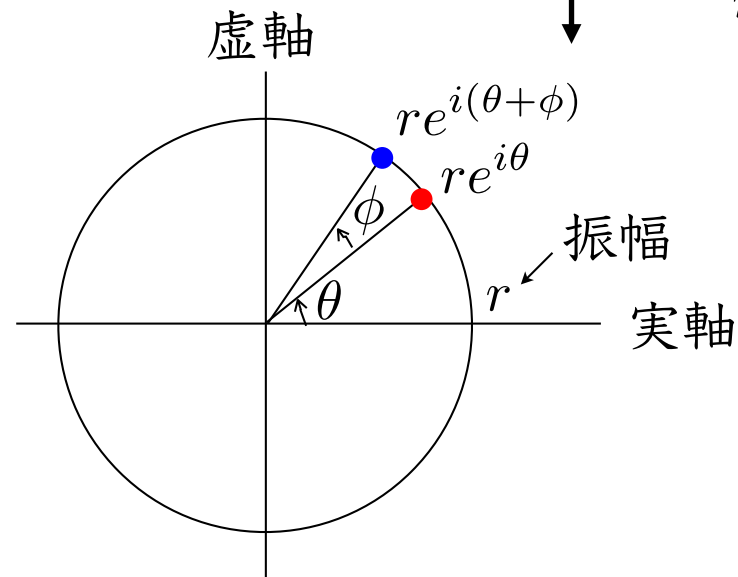
ステップ 2：複素フーリエ級数



掛け算 = 回転：

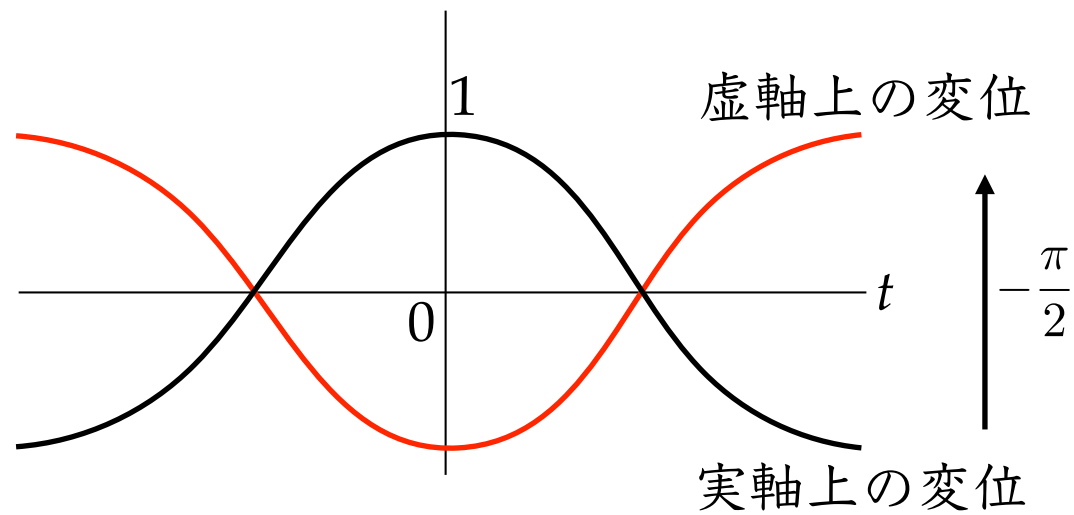
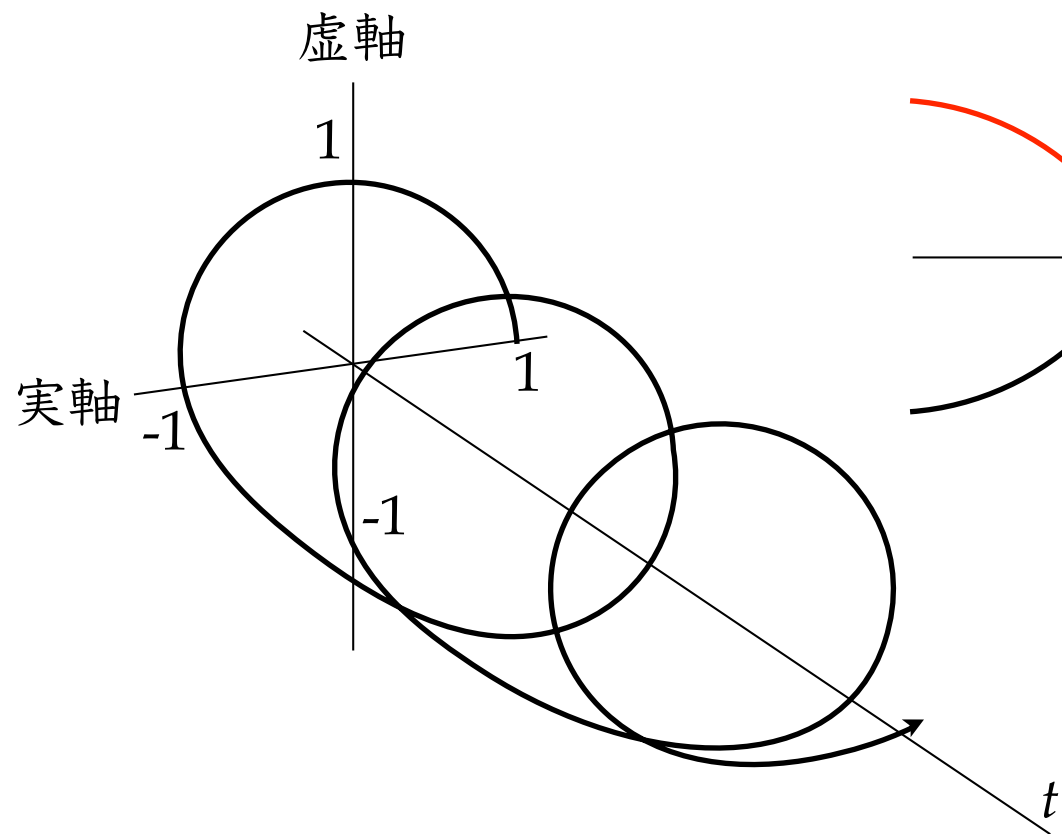
$$re^{i\theta} e^{i\phi} = re^{i(\theta+\phi)}$$

偏角の足し算



$$\cos\theta = \frac{e^{i\theta} + e^{-i\theta}}{2}$$

$$\sin\theta = \frac{e^{i\theta} - e^{-i\theta}}{2i}$$



周期・周波数・角周波数

周期 = T : $f(t + T) = f(t) \quad \forall t \in \mathbf{X}$ (距離)

周波数 : $1/T$ (Hz, 周/時間)

角周波数 : $\Omega = \frac{2\pi}{T}$ (rad/時間)

基本周期 ≡ 波動成分の最長周期 : T_0

基本周波数 : $1/T_0$

基本角周波数 : $\Omega_0 \equiv \frac{2\pi}{T_0}$

→ 基本周波数を用いたフーリエ級数展開 :

$$f(t) = a_0 + \sum_{k=1}^{\infty} [a_k \cos(\Omega_0 kt) + b_k \sin(\Omega_0 kt)] \quad (6)$$

フーリエ級数展開の複素数表現

$$\begin{aligned}
 f(t) &= a_0 + \sum_{k=1}^{\infty} [a_k \cos(\Omega_0 kt) + b_k \sin(\Omega_0 kt)] \\
 &= a_0 + \sum_{k=1}^{\infty} \left[a_k \frac{e^{i\Omega_0 kt} + e^{-i\Omega_0 kt}}{2} + b_k \frac{e^{i\Omega_0 kt} - e^{-i\Omega_0 kt}}{2} \right] \\
 &= a_0 + \sum_{k=1}^{\infty} \left[\frac{a_k - ib_k}{2} e^{i\Omega_0 kt} + \frac{a_k + ib_k}{2} e^{-i\Omega_0 kt} \right] \\
 \longrightarrow f(t) &= \sum_{k=-\infty}^{\infty} F_k e^{i\Omega_0 kt} \quad (7) \quad \text{但し} \quad \begin{cases} F_k \equiv \frac{a_k - ib_k}{2} \\ F_{-k} \equiv \frac{a_k + ib_k}{2} \end{cases}
 \end{aligned}$$

※ 周波数 k ($\neq 0$) の波動成分の振幅 :

$$|F_k| = |F_{-k}| = \sqrt{F_k F_{-k}} = \frac{\sqrt{a_k^2 + b_k^2}}{2}$$

$$\text{i.e., } A_k \equiv |F_k| + |F_{-k}| = 2|F_k|$$

$\longrightarrow e^{i\Omega_0 kt}, e^{-i\Omega_0 kt}$ 合わせて周波数 k 成分

フーリエ係数の計算

$$m = n : \int_{-\frac{T_0}{2}}^{\frac{T_0}{2}} e^{i\Omega_0 mt} e^{-i\Omega_0 nt} dt = T_0$$

$$\begin{aligned} m \neq n : \int_{-\frac{T_0}{2}}^{\frac{T_0}{2}} e^{i\Omega_0 mt} e^{-i\Omega_0 nt} dt &= \int_{-\frac{T_0}{2}}^{\frac{T_0}{2}} e^{i\Omega_0(m-n)t} dt \\ &= \frac{1}{i\Omega_0(m-n)} \left[e^{i\Omega_0(m-n)t} \right]_{-\frac{T_0}{2}}^{\frac{T_0}{2}} \\ &= \frac{1}{i\Omega_0(m-n)} \left\{ e^{i\pi(m-n)} - e^{-i\pi(m-n)} \right\} \\ &= \frac{1}{i\Omega_0(m-n)} \left\{ (-1)^{m-n} - (-1)^{m-n} \right\} \\ &= 0 \end{aligned}$$

$$\int_{-T_0/2}^{T_0/2} e^{i\Omega_0 mt} e^{-i\Omega_0 nt} dt = T_0 \delta_{m,n}$$

$$\begin{aligned} \rightarrow \int_{-T_0/2}^{T_0/2} f(t) e^{-i\Omega_0 kt} dt &= \int_{-T_0/2}^{T_0/2} \left(\sum_{n=-\infty}^{\infty} F_n e^{i\Omega_0 nt} \right) e^{-i\Omega_0 kt} dt \\ &= F_k T_0 \end{aligned}$$

$$\therefore F_k = \frac{1}{T_0} \int_{-T_0/2}^{T_0/2} f(t) e^{-i\Omega_0 kt} dt \quad (8)$$

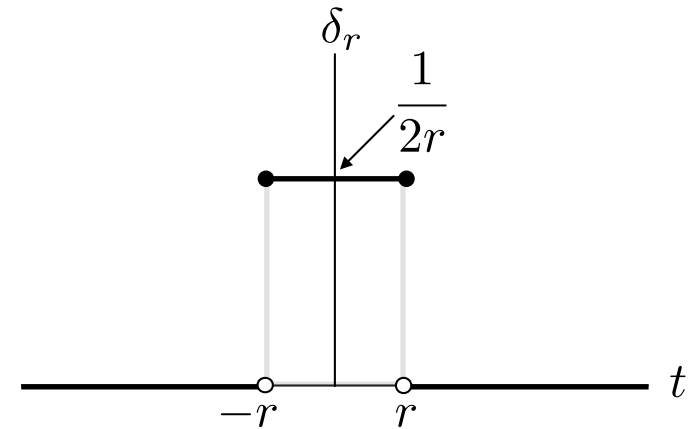
周期的なインパルスのフーリエ変換

デルタ関数

矩形関数：

$$\delta_r(t) = \begin{cases} \frac{1}{2r}, & t \in [-r, r] \\ 0, & t \in (-\infty, -r) \cup (r, \infty) \end{cases}$$

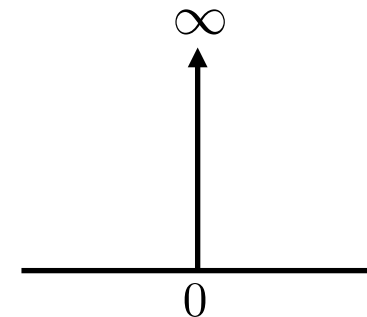
$$\int_{-\infty}^{\infty} \delta_r(t) dt = 1$$



デルタ関数 (単位インパルス)：

$$\delta(t) \equiv \lim_{r \rightarrow 0} \delta_r(t) \longrightarrow \delta(t) = \begin{cases} \infty, & t = 0 \\ 0, & t \neq 0 \end{cases}$$

$$\int_{-\infty}^{\infty} \delta(t) dt = 1$$

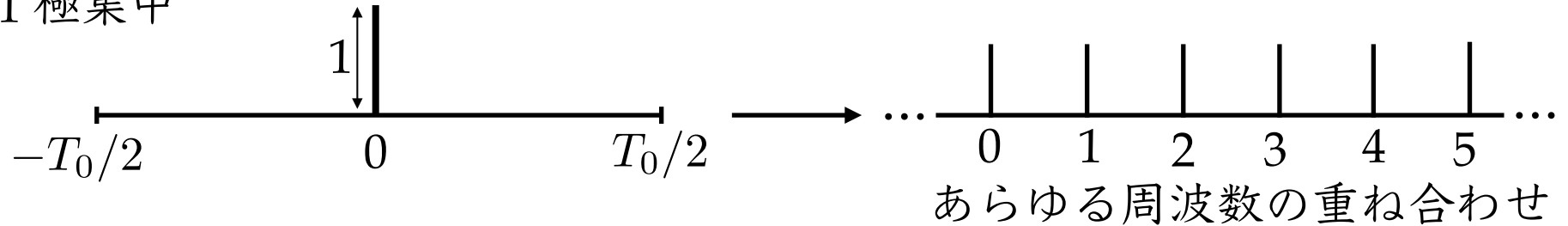


$$\int_{-\infty}^{\infty} f(t)\delta(t-a)dt = f(a) \quad (9)$$

$$\begin{aligned}
\int_{-\infty}^{\infty} f(t)\delta(t-a)dt &= \int_{-\infty}^{\infty} f(t) \lim_{r \rightarrow 0} \delta_r(t-a)dt \\
&= \lim_{r \rightarrow 0} \int_{-\infty}^{\infty} f(t)\delta_r(t-a)dt \\
&= \lim_{r \rightarrow 0} \int_{a-r}^{a+r} \frac{f(t)}{2r} dt \\
&= \lim_{r \rightarrow 0} \frac{1}{2r} [F(x)]_{a-r}^{a+r} \quad \left(F(x) \equiv \int_{-\infty}^x f(t)dt \right) \\
&= \frac{1}{2} \lim_{r \rightarrow 0} \frac{F(a+r) - F(a-r)}{r} \\
&= \frac{1}{2} \lim_{r \rightarrow 0} \frac{F(a+r) - F(a) + F(a) - F(a-r)}{r} \\
&= \frac{1}{2} \left[\lim_{r \rightarrow 0} \frac{F(a+r) - F(a)}{r} + \lim_{r \rightarrow 0} \frac{F(a) - F(a-r)}{-r} \right] \\
&= \frac{f(a) + f(a)}{2} = f(a)
\end{aligned}$$

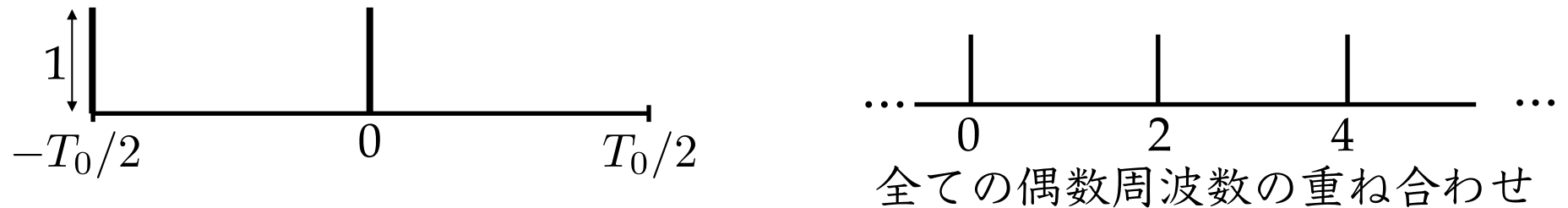
周期的なインパルスのフーリエ係数

1 極集中



$$F_k = \int_{-T_0/2}^{T_0/2} 1 \cdot \delta(t) e^{-i\Omega_0 k t} dt = e^0 = 1 \quad \forall k = 0, 1, \dots$$

2 極集中

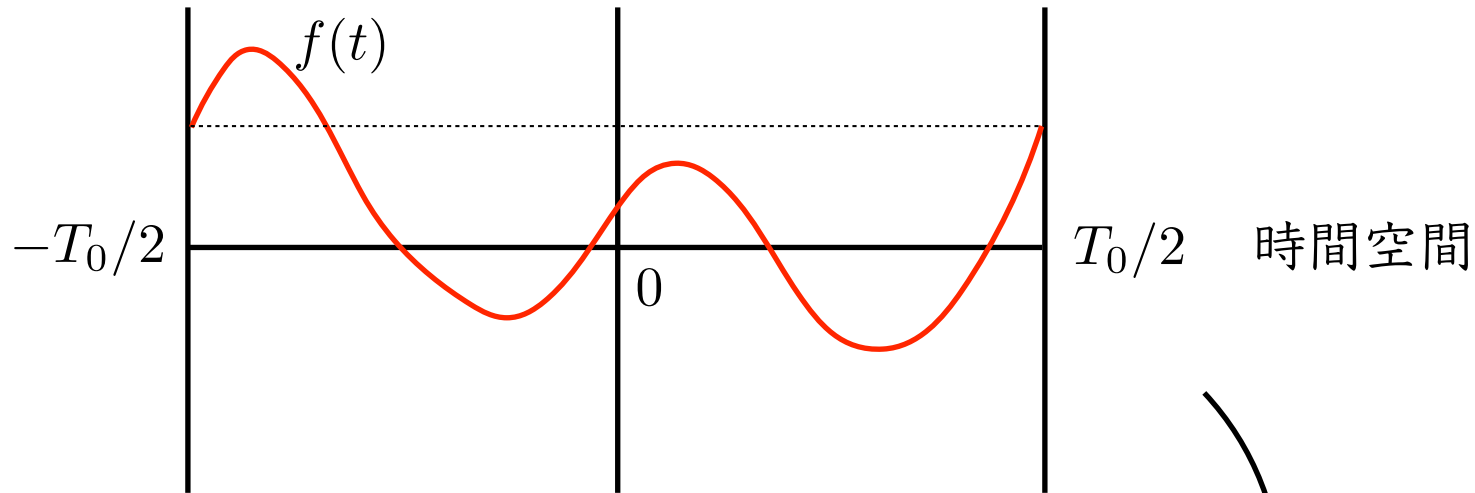


$$\Omega_0 k \frac{T_0}{2} = \frac{2\pi}{T_0} k \frac{T_0}{2} = k\pi$$

$$F_k = \underbrace{1 \cdot e^0}_{\text{周期}0} + 1 \cdot \underbrace{e^{-ik\pi}}_{\text{周期}T_0/2} = 1 + \cos k\pi - \underbrace{i \sin k\pi}_{=0} = 1 + (-1)^k$$

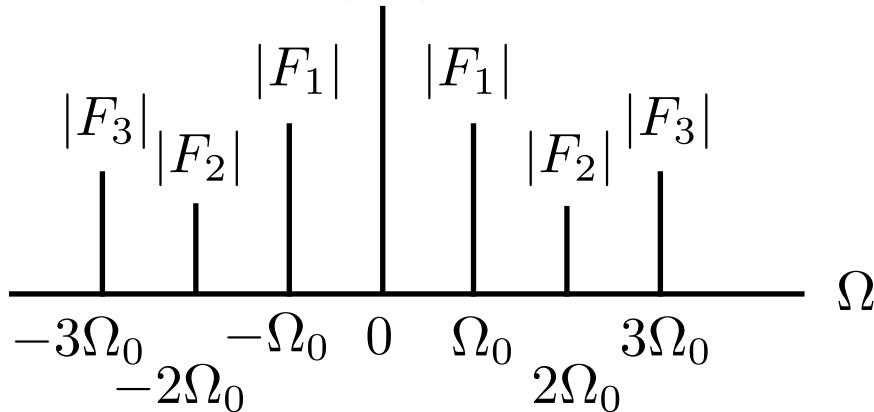
フーリエ級数：周期的な時間信号 → 離散周波数成分に分解

$f(t)$ ：周期的, 周期 T_0



← 対称 →

$|F_0|$ ※ 虚数部分の相殺

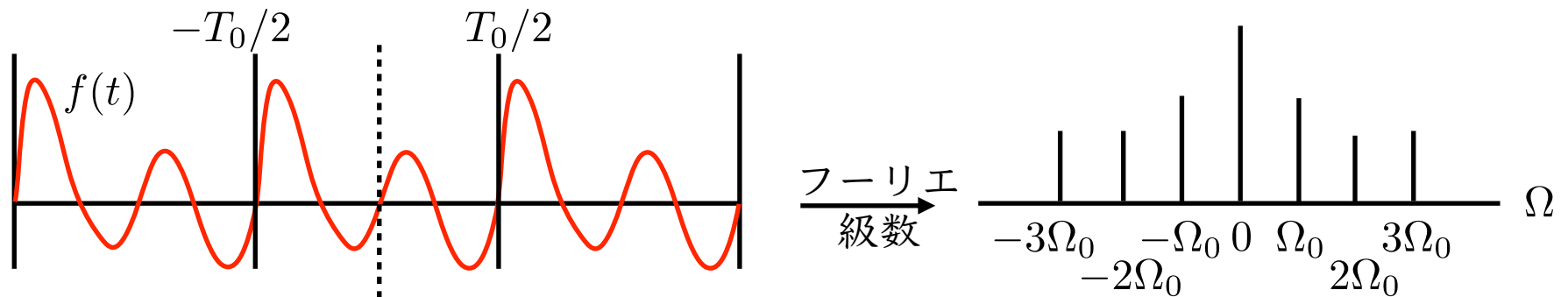


周波数空間：

基本周波の整数倍周波の合成

ステップ 3: フーリエ変換

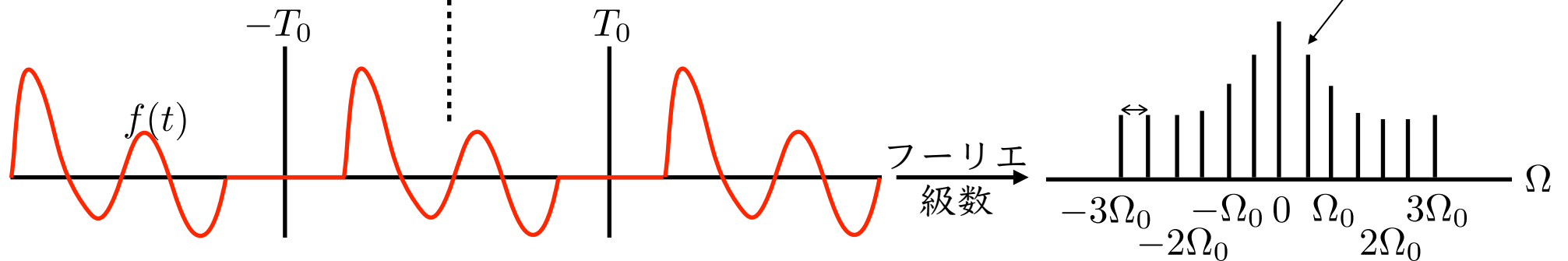
連続非周期的な空間信号 → 連続非周期的周波数成分に変換

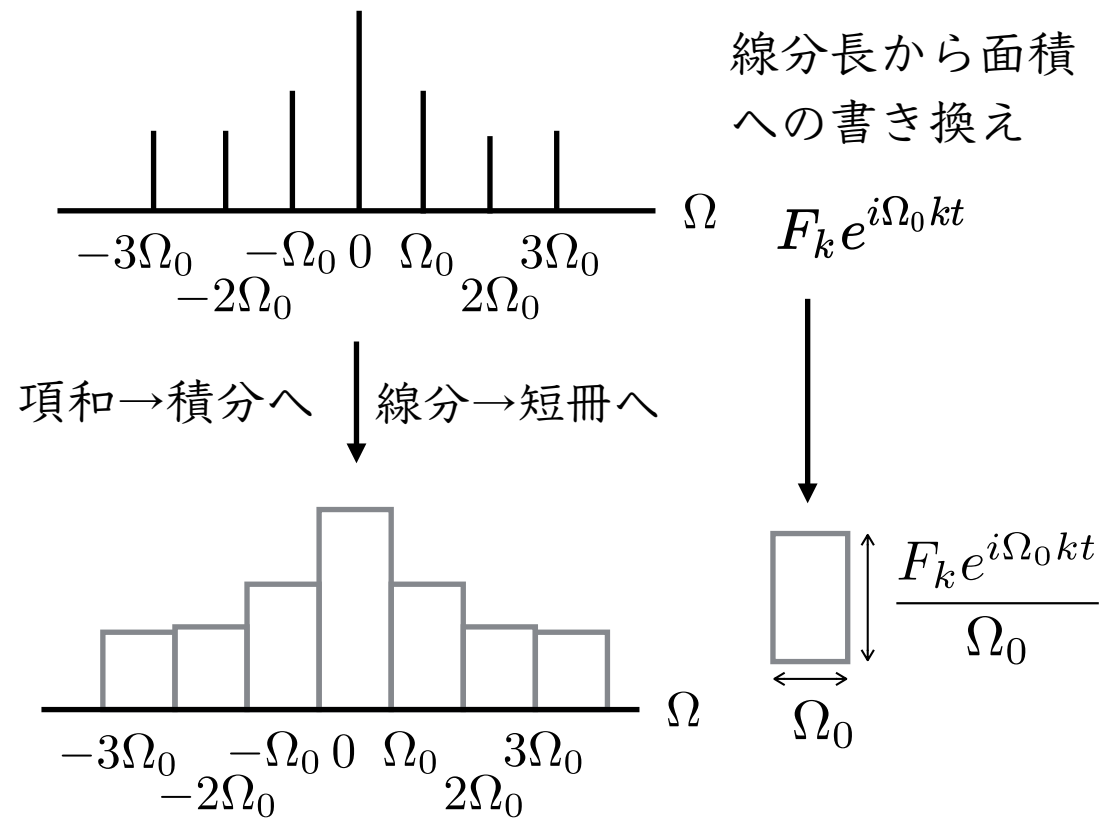
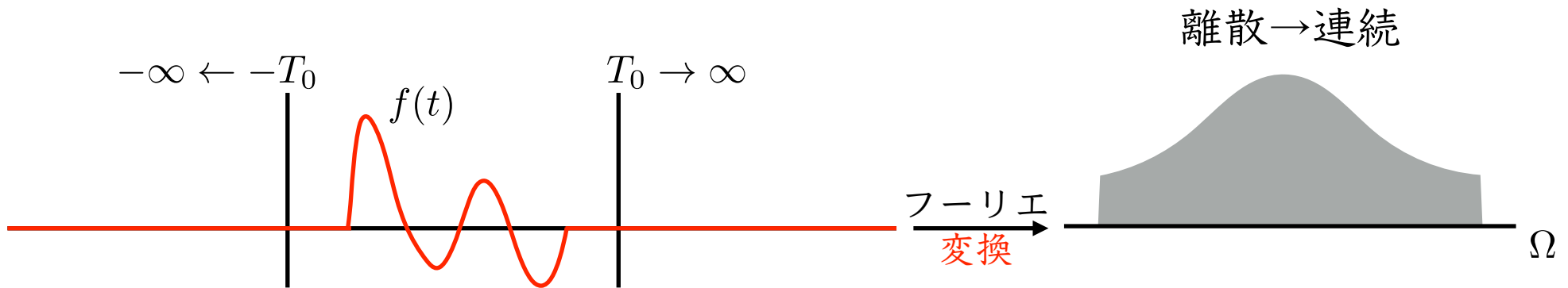


振動期間内の波形は変えずに周期だけ2倍化：

周期： $T_0 \rightarrow 2T_0 \rightarrow$ 基本周波数： $\frac{2\pi}{2T_0} = \frac{\Omega_0}{2}$

周波数スペクトル密度：2倍





$$f(t) = \sum_{k=-\infty}^{\infty} F_k e^{i\Omega_0 k t}$$

$$f(t) = \frac{1}{2\pi} \sum_{k=-\infty}^{\infty} \Omega_0 \frac{2\pi F_k e^{i\Omega_0 k t}}{\Omega_0}$$

慣例

$$= \frac{1}{2\pi} \sum_{k=-\infty}^{\infty} \Omega_0 \underbrace{F(\Omega[k])}_{\equiv \frac{2\pi F_k}{\Omega_0}} e^{i \underbrace{\Omega[k]}_{\equiv \Omega_0 k} t}$$

周波数の関数として定義

※ $[\]$ は整数の関数を意味する

$$f(t) = 0 \quad \forall t \in (-\infty, T_0) \cup (T_0, \infty)$$

↓

$$F_k = \frac{1}{T_0} \int_{-T_0/2}^{T_0/2} f(t) e^{-i\Omega_0 k t} dt \quad (10)$$

$$= \frac{1}{T_0} \int_{-T_0/2}^{T_0/2} f(t) e^{-i\Omega[k]t} dt$$

↓

$$F(\Omega[k]) = 2\pi F_k / \Omega_0$$

$$\begin{aligned} F(\Omega[k]) &= \frac{2\pi}{T_0 \Omega_0} \int_{-T_0/2}^{T_0/2} f(t) e^{-i\Omega_0 k t} dt \\ &= \int_{-T_0/2}^{T_0/2} f(t) e^{-i\Omega[k]t} dt \quad (\because \Omega_0 \equiv 2\pi/T_0) \end{aligned}$$

$$f(t) = \frac{1}{2\pi} \sum_{k=-\infty}^{\infty} \Omega_0 F(\Omega[k]) e^{i\Omega[k]t}$$

$$\Omega_0 \equiv \Delta\Omega \quad \text{※ } \Omega_0 \equiv 1/T_0 \text{ より、 } T_0 \nearrow \infty \Rightarrow \Omega_0 \searrow 0$$

(周期の無限化)

$$f(t) = \frac{1}{2\pi} \sum_{k=-\infty}^{\infty} F(\Omega[k]) e^{i\Omega[k]t} \Delta\Omega$$

$$T_0 \rightarrow \infty$$

$$\Omega[k] \equiv \Omega \quad \text{: 連続化}$$

フーリエ級数 \rightarrow フーリエ逆変換: $f(t) = \frac{1}{2\pi} \int_{-\infty}^{\infty} F(\Omega) e^{i\Omega t} d\Omega$ (11)

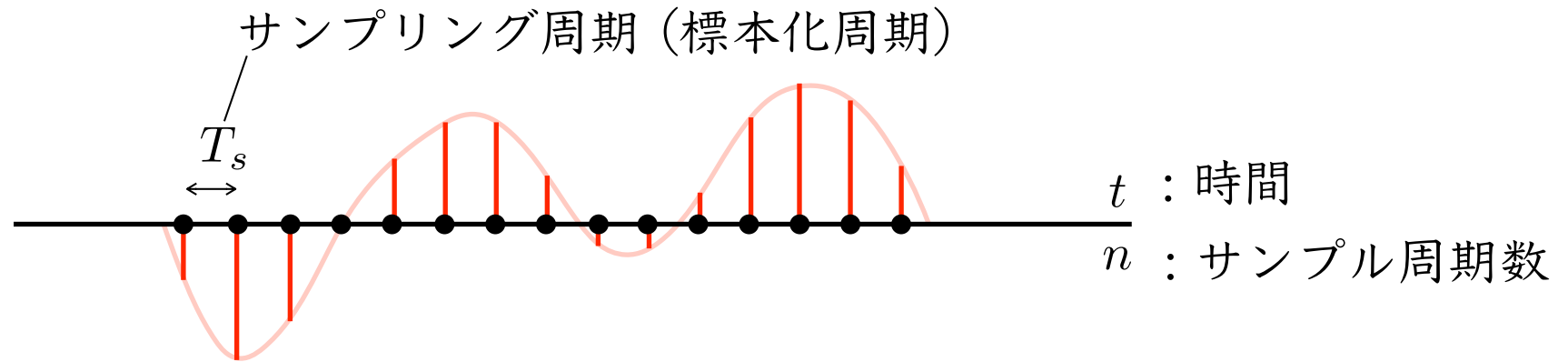
(7)

フーリエ係数計算 \rightarrow フーリエ変換: $F(\Omega) = \int_{-\infty}^{\infty} f(t) e^{-i\Omega t} dt$ (12)

(10)

ステップ 4：離散フーリエ変換

離散時間信号



正規化周期：1

正規化各周波数： $\omega \equiv \underbrace{\Omega}_{\text{角周波数}} T_s$ (サンプル周期毎に進む角度)

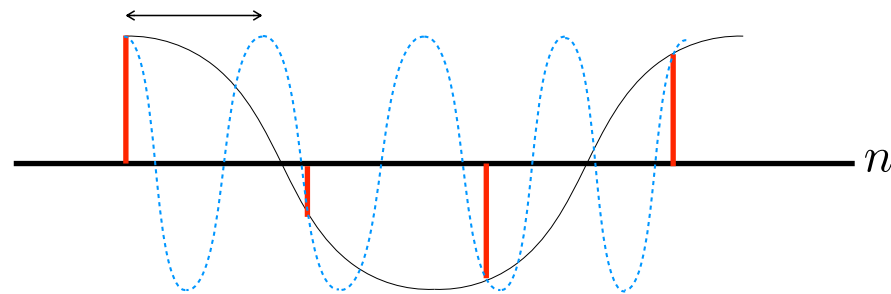
離散時間信号の性質

$$f[n|\omega] = \cos \omega n$$

$$f[n|\omega = \omega_1] = \cos \omega_1 n$$

$$f[n|\omega = \underbrace{\omega_1 + 2\pi k}_{\text{i.e., 1サンプル周期ごとに振動数が } k \text{ 増える}}] = \cos(\omega_1 + 2\pi k)n = \cos \omega_1 n \equiv f[n|\omega = \omega_1]$$

$k = 1$ の場合：1振動



※1. 離散空間 → 角周波数は $0 \sim 2\pi$ の繰り返し

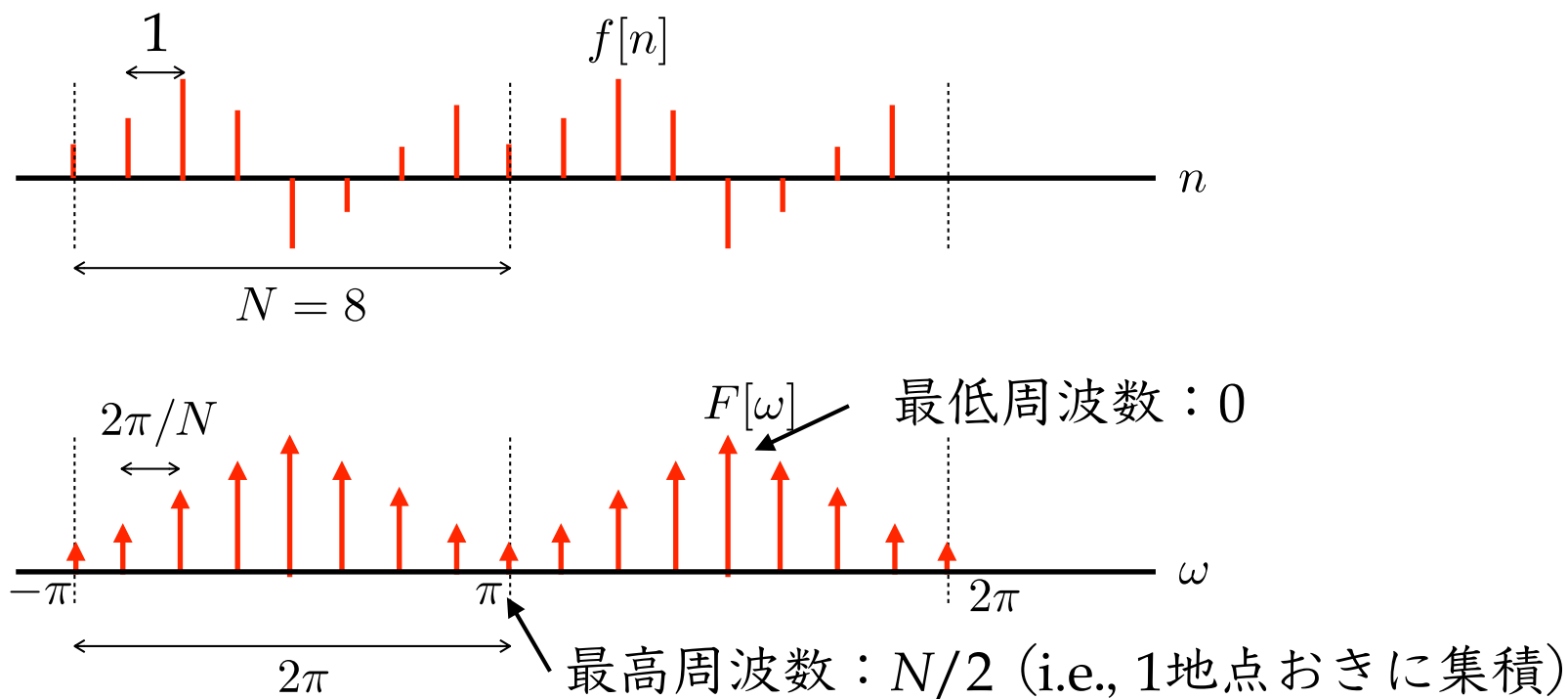
⇒ 周波数スペクトルは $-\infty$ から ∞ ではなく $0 \sim 2\pi$ の範囲で求めれば良い

※ 時間領域：離散・周期的 ↔ 周波数領域：離散・周期的

- ・ 時間領域で周期的 ↔ 周波数領域で離散 (ステップ3)
- ・ 周波数領域で周期的 ↔ 時間領域で離散 (※1)

離散時間領域での周期： N

基本角周波数： $2\pi/N$



$\omega, \omega + 2\pi k$: 判別できない → 周波数領域での周期は 2π

離散時間フーリエ変換：

$$F(\omega) = \sum_{n=-\infty}^{\infty} f[n]e^{-i\omega n} \quad :$$

$$\omega = \frac{2\pi k}{N}$$

周期成分数=N

⇒ 2π の範囲の周波数スペクトルの繰り返し

$$F[k] \equiv \underbrace{\sum_{n=0}^{N-1} f[n]e^{-i\frac{2\pi}{N}kn}}_{}, \quad k = 0, 1, \dots, N-1 \quad (13)$$

$$\frac{|F[k]|}{|F[k']|} = \frac{|F(2\pi k/N)|}{|F(2\pi k'/N)|}$$

フーリエ逆変換：

$$\begin{aligned}
 f[n] &= \frac{1}{2\pi} \int_{-\pi}^{\pi} F(\omega) e^{i\omega n} d\omega \\
 &= \frac{1}{2\pi} \int_{-\pi}^{\pi} \sum_{k=-\infty}^{\infty} cF[k] \delta\left(\omega - \frac{2\pi k}{N}\right) e^{i\omega n} d\omega \\
 &= \frac{c}{2\pi} \sum_{k=0}^{N-1} F[k] e^{i\frac{2\pi k}{N} n} \quad : 2\pi\text{の範囲には}N\text{個のインパルスしかない} \\
 &= \frac{c}{2\pi} \sum_{k=0}^{N-1} \left[\sum_{m=0}^{N-1} f[m] e^{-i\frac{2\pi}{N} km} \right] e^{i\frac{2\pi}{N} kn} \\
 &= \frac{c}{2\pi} \sum_{m=0}^{N-1} f[m] \sum_{k=0}^{N-1} e^{i\frac{2\pi}{N} k(n-m)} \\
 &= \frac{c}{2\pi} \sum_{m=0}^{N-1} f[m] N \delta_{m,n} \\
 &= \frac{cN}{2\pi} f[n] \xrightarrow{c \equiv \frac{2\pi}{N}} \therefore f[n] = \frac{1}{N} \sum_{k=0}^{N-1} F[k] e^{i\frac{2\pi}{N} kn} \quad (14)
 \end{aligned}$$

周波数スペクトルの性質

$$\begin{aligned} F_{N-k} &= \sum_{n=0}^{N-1} f[n] e^{-i \frac{2\pi}{N} (N-k)n} \\ &= \sum_{n=0}^{N-1} f[n] \left[e^{i \frac{2\pi}{N} (N-k)} \right]^{-n} \\ &= \sum_{k=0}^{N-1} f[k] \left[e^{-i \frac{2\pi}{N} k} \right]^{-n} \\ &= \sum_{k=0}^{N-1} f[k] e^{i \frac{2\pi}{N} kn} \\ &\equiv \overline{F[k]} \quad \text{i.e., } F[N-k], F[k] : \text{共役関係} \quad (15) \end{aligned}$$

離散フーリエ変換の行列表示

$$\begin{aligned} \zeta_N &\equiv e^{i\frac{2\pi}{N}} \\ \bar{\zeta}_N &\equiv \zeta_N^{-1} \end{aligned} \longrightarrow F[k] = \sum_{n=0}^{N-1} f[n] e^{-i\frac{2\pi}{N}kn}, \quad k = 0, 1, \dots, N-1$$

$$= \sum_{n=0}^{N-1} f[n] \bar{\zeta}_N^{kn}$$

$$\begin{bmatrix} F_0 \\ F_1 \\ \vdots \\ F_{N-1} \end{bmatrix} = \begin{bmatrix} 1 & 1 & 1 & \cdots & 1 \\ 1 & \bar{\zeta}_N & \bar{\zeta}_N^{-2} & \cdots & \bar{\zeta}_N^{-(N-1)} \\ 1 & \bar{\zeta}_N^2 & \bar{\zeta}_N^{-4} & \cdots & \bar{\zeta}_N^{-2(N-1)} \\ \vdots & \vdots & \vdots & \ddots & \vdots \\ 1 & \bar{\zeta}_N^{N-1} & \bar{\zeta}_N^{-2(N-1)} & \cdots & \bar{\zeta}_N^{-(N-1)^2} \end{bmatrix} \begin{bmatrix} f_0 \\ f_1 \\ \vdots \\ f_{N-1} \end{bmatrix}$$

$$\begin{aligned} \mathbf{F}_N &\equiv (F_0, \dots, F_{N-1})' \\ \mathbf{f}_N &\equiv (f_0, \dots, f_{N-1})' \\ \mathbf{M}_N &\equiv (\zeta_N^{kn})_{k,n=0,1,\dots,N-1} \end{aligned} \left. \vphantom{\begin{aligned} \mathbf{F}_N \\ \mathbf{f}_N \\ \mathbf{M}_N \end{aligned}} \right\} \mathbf{F}_N = \bar{\mathbf{M}}_N \mathbf{f}_N \quad (16)$$

離散フーリエ変換の行列の性質

$$\frac{1}{N} \sum_{n=0}^{N-1} \zeta^{kn} = \begin{cases} 1, & n = 0 \\ 0, & n \geq 1 \end{cases}$$

$$n = 0 \Rightarrow \frac{1}{N} \sum_{n=0}^{N-1} \zeta^{kn} = \frac{1}{N} \sum_{n=0}^{N-1} 1 = 1$$

$$n \geq 1 : \quad \frac{1}{N} \sum_{n=0}^{N-1} \zeta^{kn} = \frac{1}{N} \sum_{n=0}^{N-1} z^n \quad (z \equiv \zeta^n)$$

$$z^N = (\zeta^n)^N = (\zeta^N)^n = (e^{2\pi i})^n = 1 \Rightarrow 1 - z^N = 0$$

$$1 - z^N = (1 - z)(1 + z + z^2 + \cdots + z^{N-1}) = 0 \Rightarrow \sum_{k=0}^{N-1} z^k = 0$$

離散フーリエ逆変換の行列表示

$$f_n = \frac{1}{N} \sum_{k=0}^{N-1} F_k \zeta_N^{kn}$$

$$\begin{bmatrix} f_0 \\ f_1 \\ \vdots \\ f_{N-1} \end{bmatrix} = \begin{bmatrix} 1 & 1 & 1 & \cdots & 1 \\ 1 & \zeta_N & \zeta_N^2 & \cdots & \zeta_N^{N-1} \\ 1 & \zeta_N^2 & \zeta_N^4 & \cdots & \zeta_N^{2(N-1)} \\ \vdots & \vdots & \vdots & \ddots & \vdots \\ 1 & \zeta_N^{N-1} & \zeta_N^{2(N-1)} & \cdots & \zeta_N^{(N-1)^2} \end{bmatrix} \begin{bmatrix} F_0 \\ F_1 \\ \vdots \\ F_{N-1} \end{bmatrix}$$

DFT行列

$$\mathbf{f}_N = \mathbf{M}_N \mathbf{F}_N \quad (17)$$

$\mathbf{M}_N \overline{\mathbf{M}_N} = \mathbf{I} \longrightarrow \mathbf{M}_N$ はユニタリ行列

空間割引行列の性質

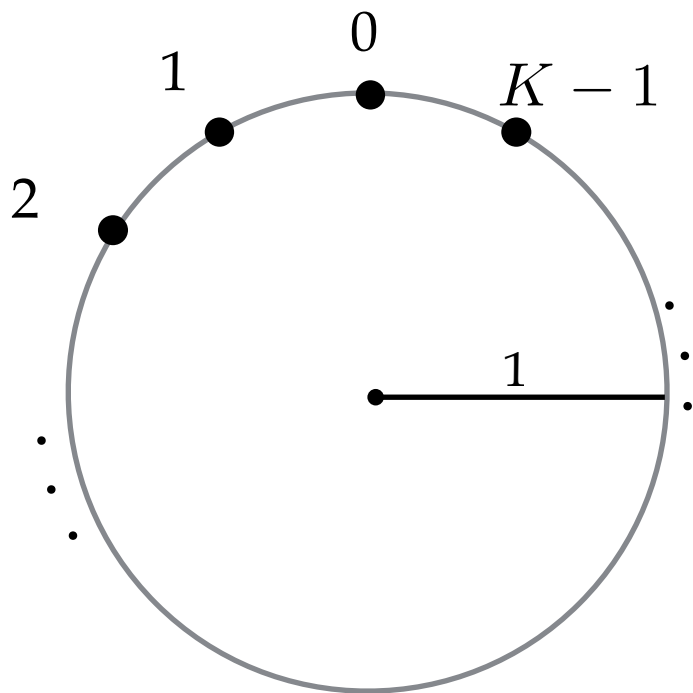
— 離散円周立地空間の場合 —

地域 ij 間距離： $t(i, j) = \frac{2\pi}{K} \min(|i - j|, K - |i - j|)$

地域 ij 間輸送における残存率：

$$d_{ij} = \exp[-(\sigma - 1)\tau t(i, j)]$$

↑
輸送費パラメタ



空間割引因数： $r = \exp\left[-(\sigma - 1)\tau \frac{2\pi}{K}\right]$

$$D = \begin{bmatrix} 1 & r & \dots & r^2 & r \\ r & 1 & \dots & r & r^2 \\ r^2 & r & \dots & r^4 & r^3 \\ \vdots & \vdots & \vdots & \vdots & \vdots \\ r & r^2 & \dots & r & 1 \end{bmatrix}$$

↕ 循環性

D の固有値： $\mathbf{f} \equiv [f_0, f_1, \dots, f_{K-1}]^T$

$$\longrightarrow \underbrace{\mathbf{Z}^* \mathbf{D} \mathbf{Z}} = \text{diag}[\mathbf{f}] \quad (18)$$

$\left\{ \begin{array}{l} \mathbf{Z} : \mathbf{D} \text{と同次元の離散フーリエ変換行列} \\ \mathbf{Z}^* : \mathbf{Z} \text{の複素共役行列} \end{array} \right.$

$$\mathbf{d}_0 \equiv [1, r, r^2, \dots, r^M, r^{M-1}, \dots, r^2, r]^T, \quad (M \equiv K/2)$$

(空間割引行列 D の1行目)

$$\mathbf{f} = \mathbf{Z} \mathbf{d}_0 \quad (19)$$

$$\mathbf{Z} \equiv \begin{bmatrix} z_0 \\ z_1 \\ \vdots \\ z_{K-1} \end{bmatrix} = \begin{bmatrix} 1 & 1 & 1 & \cdots & 1 \\ 1 & \omega & \omega^2 & \cdots & \omega^{K-1} \\ 1 & \omega^2 & \omega^4 & \cdots & \omega^{2(K-1)} \\ \vdots & \vdots & \vdots & \ddots & \vdots \\ 1 & \omega^{K-1} & \omega^{2(K-1)} & \cdots & \omega^{(K-1)^2} \end{bmatrix}$$

$$\omega \equiv \exp\left(\frac{2\pi}{K}i\right)$$

補題 4.1 (Akamatsu et al., JEDC2012)

$$f_m = \frac{1 - r^2}{1 - 2r \cos\left(\frac{m}{M}\pi\right) + r^2} [1 - (-1)^m r^M] \quad , \quad m = 0, 1, \dots, M$$

$$f_m = f_{K-m}$$

証明：

$$f_m = [1, \omega^m \omega^{2m}, \dots, \omega^M, \omega^{-(M-1)m}, \dots, \omega^{-m}] \begin{bmatrix} 1 \\ r \\ \vdots \\ r^M \\ r^{M-1} \\ \vdots \\ r \end{bmatrix}$$

$$= 1 + \omega^{Mm} + \sum_{k=1}^{M-1} (\omega^{km} + \omega^{-km}) r^k \quad \downarrow \because e^{ikx} + e^{-ikx} = 2 \cos kx$$

$$= 1 + \underbrace{(-1)^m r^M}_{\omega^{Mm} = e^{i\pi m}} + 2 [r \cos x + r^2 \cos 2x + \dots + r^{M-1} \cos(M-1)x] \quad (x \equiv 2\pi m/K)$$

$$\rightarrow = 2\text{Re} \left[\sum_{k=0}^{M-1} (re^{xi})^k \right] = 2\text{Re} \left[\frac{re^{xi} - r^M \overbrace{e^{Mxi}}^{e^{\pi mi} = (-1)^m}}{1 - re^{xi}} \right]$$

$$= 2\text{Re} \left[\frac{re^{xi} - (-1)^m r^M}{1 - re^{xi}} \right] = 2\text{Re} \left[\frac{r(\cos mx + i \sin mx) - (-1)^m r^M}{1 - r(\cos mx + i \sin mx)} \right]$$

$$= 2\operatorname{Re} \left[\frac{\overbrace{r \cos mx - (-1)^m r^M}^C + i \overbrace{(r \sin mx)}^D}{\underbrace{1 - r \cos mx}_A + i \underbrace{(-r \sin mx)}_B} \right]$$

$$= 2 \frac{AC + BD}{A^2 + B^2}$$

$$A^2 + B^2 = 1 + r^2 + 2r \cos mx$$

$$AC + BD = (1 - r \cos mx)[r \cos mx - (-1)^m r^M] - r^2 \sin^2 mx$$

$$= 1 - r^2 + (r \cos mx - 1)[1 + (-1)^m r^M]$$

$$f_m = 1 + (-1)^m r^M + 2 \frac{1 - r^2 (r \cos mx - 1)[1 + (-1)^m r^M]}{1 + r^2 - 2r \cos mx}$$

$$= [1 + (-1)^m r^M] \left[1 + 2 \frac{r \cos mx - 1}{1 + r^2 - 2r \cos mx} \right] + 2 \frac{1 - r^2}{1 + r^2 - 2r \cos mx}$$

$$= \frac{(1 - r^2)[1 - (-1)^m r^M]}{1 + r^2 - 2r \cos mx} = \frac{(1 - r^2)[1 - (-1)^m r^M]}{1 + r^2 - 2r \cos \frac{2\pi m}{K}}$$

$\underbrace{\hspace{1.5cm}}_{m\pi/M}$

Q.E.D.

正規化空間割引行列

正規化空間割引行列： D / \underbrace{d}

$$\begin{aligned} \equiv f_0 &= \sum_{k=0}^{M-1} d_{0,k} = 1 + r^M + 2 \sum_{k=1}^{M-1} r^k \\ &= 1 + r^M + 2 \frac{r - r^M}{1 - r} \\ &= \frac{1 + r}{1 - r} (1 - r^M) \end{aligned}$$

$$\bar{f}_0 \equiv 1$$

$$\begin{aligned} \bar{f}_m &= \frac{(1+r)(1-r)[1 - (-1)^m r^M]}{1 + r^2 - 2r \cos(m\pi/M)} \frac{1-r}{1+r} \frac{1}{1-r^M} \\ &= \underbrace{\frac{(1-r)^2}{1 + r^2 - 2r \cos(m\pi/M)}}_{\equiv \Psi_m(r)} \underbrace{\frac{1 - (-1)^m r^M}{1 - r^M}}_{\equiv \epsilon_M(r)} \end{aligned}$$

参考文献

鏡慎吾 「やる夫で学ぶデジタル信号処理」 ver. 2014.11.03.

東北大学大学院情報科学研究科 (2014)

佐藤敏明 「図解雑学フーリエ変換」 ナツメ社 (2013)

Akamatsu, T., Y. Takayama and K. Ikeda. “Spatial discounting, Fourier, and racetrack economy: A recipe for the analysis of spatial agglomeration models.” JEDC 36 : 1729-1759 (2012).